

Evaluation of Submandibular Gland Fossa Concavity Using Cone-Beam Computed Tomography

S. H. Razavi (DDS, MS)¹ , A. Ansarilari (DDS, MS)^{*1} , M. Poormohammadi (DDS, MS)¹ 

1.Department of Oral and Maxillofacial Radiology, School of Dentistry, Shahid Sadoughi University of Medical Sciences, Yazd, I.R.Iran.

*Corresponding Author: A. Ansarilari (DDS, MS)

Address: School of Dentistry, Shahid Sadoughi University of Medical Sciences, Imam Reza Boulevard, Yazd, I.R.Iran.

Tel: +98 (35) 36256975. E-mail: ansari.1376@gmail.com

Article Type ABSTRACT

Research Paper

Background and Objective: The submandibular gland fossa is one of the most critical anatomical regions in implant therapy of the posterior mandible. The present study was conducted to evaluate the location and anatomical characteristics of this fossa using cone-beam computed tomography (CBCT).

Methods: In this cross-sectional study, 140 CBCT images were selected from the archives of the Radiology Department of Yazd School of Dentistry, and the frequency of deep submandibular gland fossa was evaluated. In cases with a U-shaped ridge, the location, depth, angle of concavity, and distance from the deepest point of the fossa to the alveolar crest were calculated according to sex (male/female) and side (left/right).

Findings: The frequency of deep submandibular gland fossa (U-shaped ridge) was 56.4%. The mean concavity depth in men (2.86 ± 0.70 mm) was significantly greater than in women (2.42 ± 0.57 mm) ($p < 0.001$). This value was also significantly greater on the right side (2.67 ± 0.60 mm) compared to the left side (2.45 ± 0.68 mm) ($p < 0.05$). The distance from the deepest point of the submandibular gland fossa to the alveolar crest was also significantly greater in men (15.34 ± 2.31 mm) compared to women (13.33 ± 2.10 mm) ($p < 0.001$). The overall mean concavity angle in the study population was 42.76 ± 7.91 degrees. The location of the deepest point of the fossa in men (aligned with the distal half of the second mandibular molar) was significantly different from and more posterior than that in women (aligned with the junction between the first and second mandibular molars) ($p < 0.05$).

Conclusion: The results of the study demonstrated that the frequency of the submandibular gland fossa in the studied population is high. Therefore, thorough evaluation of this region on CBCT imaging prior to implant treatment in the mandibular molar areas is essential.

Keywords: *The Submandibular Gland Fossa, Cone-Beam Computed Tomography (CBCT), Dental Implants, Anatomy.*

Received:

Nov 18th 2024

Revised:

Dec 30th 2024

Accepted:

Jan 19th 2025

Cite this article: Razavi SH, Ansarilari A, Poormohammadi M. Evaluation of Submandibular Gland Fossa Concavity Using Cone-Beam Computed Tomography. *Journal of Babol University of Medical Sciences*. 2026; 28: e12.



ارزیابی تقعر فوسای غده ساب مندیولار با استفاده از CBCT

سیدحسین رضوی (DDS, MS)^۱، آرزو انصاری لاری (DDS, MS)^{۱*}، محمد پورمحمدی (DDS, MS)^۱

۱. گروه رادیولوژی دهان، فک و صورت، دانشکده دندانپزشکی، دانشگاه علوم پزشکی شهید صدوقی، یزد، ایران

نوع مقاله	چکیده
مقاله پژوهشی	سابقه و هدف: فوسای غده ساب مندیولار یکی از بحرانی‌ترین نواحی آناتومیکی در درمان ایمپلنت ناحیه خلف مندیبل می‌باشد. هدف از این مطالعه، بررسی محل و مشخصات آناتومیکی این فوسا با استفاده از توموگرافی کامپیوتری با اشعه مخروطی (CBCT) می‌باشد.
	مواد و روش‌ها: در این مطالعه مقطعی، تعداد ۱۴۰ تصویر CBCT از آرشیو بخش رادیولوژی دانشکده دندانپزشکی یزد انتخاب شد و فراوانی فوسای غده ساب مندیولار عمیق در آن‌ها بررسی شد. در کیس‌های دارای ریج U-shape، محل، عمق، زاویه تقعر و فاصله عمیق‌ترین نقطه فوسا تا کرست آلوئول در زن و مرد و سمت چپ و راست محاسبه شد.
	یافته‌ها: فراوانی فوسای غده ساب مندیولار عمیق (ریج U-shape) ۵۶/۴٪ بود. میانگین عمق تقعر در مردان (۲/۸۶±۰/۷۰ میلی‌متر) به طور معنی‌داری بیشتر از زنان (۲/۴۲±۰/۵۷ میلی‌متر) بود (p<۰/۰۰۱). این عدد در سمت راست (۲/۶۷±۰/۶۰ میلی‌متر) نیز به طور معنی‌داری بیشتر از سمت چپ (۲/۴۵±۰/۶۸ میلی‌متر) بود (p<۰/۰۰۵). فاصله عمیق‌ترین نقطه فوسای غده ساب مندیولار تا کرست آلوئول نیز در مردان (۱۵/۳۴±۲/۳۱ میلی‌متر) به طور معنی‌داری بیشتر از زنان (۱۳/۳۳±۲/۱۰ میلی‌متر) بود (p<۰/۰۰۱). میانگین کلی زاویه تقعر در جمعیت مورد مطالعه نیز ۴۲/۷۶±۷/۹۱ درجه بود. محل عمیق‌ترین نقطه فوسا در مردان (در محاذات نیمه دیستالی دندان مولر دوم مندیبل) با زنان (در محاذات حد فاصل دندان مولر اول و دوم مندیبل) نیز به طور معنی‌داری متفاوت بوده و خلفی‌تر واقع شده بود (p<۰/۰۰۵).
دریافت:	
اصلاح:	
نتیجه‌گیری:	نتایج مطالعه نشان داد که فراوانی فوسای غده ساب مندیولار در جمعیت مورد بررسی بالا می‌باشد. لذا لزوم بررسی دقیق این ناحیه در تصویربرداری CBCT پیش از درمان ایمپلنت نواحی مولری مندیبل ضروری می‌باشد.
پذیرش:	
واژه‌های کلیدی:	فوسای غده ساب مندیولار، توموگرافی کامپیوتری با اشعه مخروطی (CBCT)، ایمپلنت دندانی، آناتومی.

۱۴۰۳/۸/۲۸

۱۴۰۳/۱۰/۱۰

۱۴۰۳/۱۰/۳۰

استناد: سیدحسین رضوی، آرزو انصاری لاری، محمد پورمحمدی. ارزیابی تقعر فوسای غده ساب مندیولار با استفاده از CBCT. مجله علمی دانشگاه علوم پزشکی بابل. ۱۴۰۵؛ ۲۸: ۵۱۲

۵۱۲

این مقاله مستخرج از پایان نامه دکتر آرزو انصاری لاری دانشجوی رشته رادیولوژی دهان، فک و صورت دانشگاه علوم پزشکی شهید صدوقی یزد می‌باشد.

* مسئول مقاله: دکتر آرزو انصاری لاری

مقدمه

امروزه قراردعی ایمپلنت‌های دندانی در درمان نواحی بدون دندان، امری اساسی است. ایمپلنت‌های دندانی برای ایجاد حداکثر راحتی و زیبایی، نیازمند استواینتری‌بش مناسب می‌باشند و این امر جز با قرارگیری ایمپلنت در محل صحیح خود میسر نخواهد شد. شکست درمان ممکن است به دلیل قراردعی نامناسب ایمپلنت و در پی آن سوراخ شدن استخوان، التهاب، عفونت و حتی شکستگی فک پایین رخ دهد. بحرانی‌ترین نواحی آناتومیک، خلف فک پایین، ناحیه عصب آلتولار تحتانی و فوسای غده ساب مندیولار هستند، زیرا شریان‌های ساب منتال و ساب لینگوال از این ناحیه عبور می‌کنند (۱).

جراحی ایمپلنت ممکن است عوارضی مثل خونریزی، عفونت، مشکلات سینوس، آسیب‌های عصبی، قراردعی نادرست، شکستگی مندیبل، آسیب به غدد بزاقی، لق شدن دندان کناری ایمپلنت، انسداد راه هوایی و آسپیراسیون را به دنبال داشته باشد (۲-۴). علت این عوارض می‌تواند تکنیک‌های درمانی ضعیف، نبود ارتباط موثر بین رشته‌های دندانپزشکی، عدم صرف زمان مناسب برای برنامه ریزی‌های قبل جراحی مانند بررسی رادیوگرافی و اندازه گیری‌ها و ساخت راهنمای جراحی مناسب باشد. البته دانش آناتومی را نیز نباید فراموش کرد (۴).

فوسای غده ساب مندیولار، تقریباً روی سطح داخلی، خلفی تحتانی مندیبل است که تا ریح مایلوهیوئید امتداد یافته است و غده بزاقی ساب مندیولار در این محل قرار دارد و پروریش این ناحیه می‌تواند با ایجاد خونریزی و هماتوم، عواقب تهدید کننده حیاتی داشته باشد (۵و۱). دانستن عمق این فوسا قبل از جایگذاری ایمپلنت در ناحیه خلفی فک پایین، خصوصاً وقتی که عمیق است، الزامی است و اگر تشخیص داده نشود، می‌تواند منجر به سوراخ شدن پلیت لینگوال شود (۶). این وضعیت یکی از پیامدهای ناخواسته‌ای است که می‌تواند باعث ایجاد التهاب و عفونت و متعاقباً از دست رفتن ایمپلنت شود. اگر محل پروریش در بالای ریح مایلوهیوئید باشد می‌تواند موجب پاراستری عصب لینگوال و اگر زیر این ناحیه باشد، می‌تواند باعث آسیب به عصب آلتولار تحتانی شود (۷و۸).

به منظور آگاهی از تعمر ریح و انتخاب سایز فیکسچر ایمپلنت مناسب، داشتن یک رادیوگرافی مناسب به عنوان راهنمایی برای جراح، حیاتی است. استفاده از سی تی هلیکال این امر را فراهم می‌کند اما استفاده از CBCT به علت هزینه و دوز اشعه بسیار کمتر و رزولوشن بالاتر انتخاب بهتری است (۸). انجمن رادیولوژی دهان، فک و صورت آمریکا (American Academy of Oral and Maxillofacial Radiology) بیان می‌کند که تصاویر کراس سکشنال CBCT قبل از قراردعی ایمپلنت ضروری می‌باشند. این تصاویر در تعیین صحت اندازه، زاویه و محل، قبل و بعد از قراردعی ایمپلنت کمک کننده هستند (۹-۱۱).

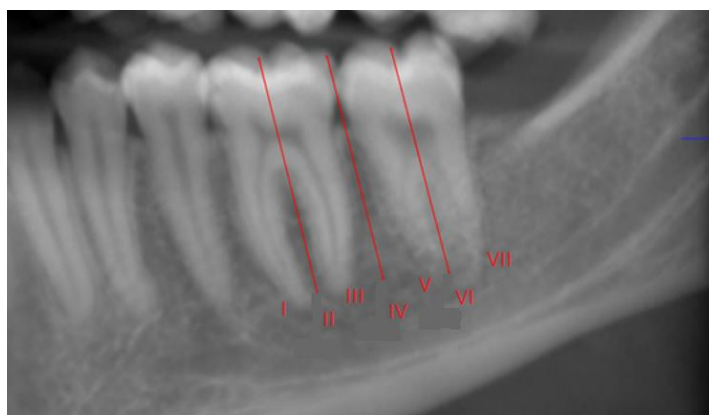
با توجه به اهمیت آگاهی از تنوعات آناتومیک فوسای غده ساب مندیولار در ناحیه خلف مندیبل در موفقیت درمان ایمپلنت (۷)، این مطالعه با هدف بررسی محل عمیق ترین نقطه و فاصله آن از کرست آلتول و بعد باکولینگوالی و درجه تعمر فوسای غده ساب مندیولار در نواحی مولر اول و دوم بین سمت چپ و راست فک پایین در ارتباط با جنس و با استفاده از CBCT در بیماران مراجعه کننده به دانشکده دندانپزشکی یزد انجام شد.

مواد و روش‌ها

در این مطالعه مقطعی که پس از تایید در کمیته اخلاق دانشگاه علوم پزشکی شهید صدوقی یزد با کد IR.SSU.DENTISTRY.REC.1402.017 انجام شد، تعداد ۱۴۰ فایل از بین تصاویر آرشیو CBCT بیماران که در طی سال‌های ۳-۱۴۰۲ به بخش رادیولوژی دهان، فک و صورت دانشکده دندانپزشکی یزد مراجعه کرده بودند، بر اساس معیارهای ورود به مطالعه، انتخاب شد. معیارهای ورود به مطالعه شامل سن ۱۸ تا ۶۵ سال بیماران، حضور دندان‌های مولر اول و دوم دائمی مندیبل دوطرف در محدوده تصویر، فقدان علائم سابقه تروما، جراحی و هرگونه پاتولوژی در محدوده تصویر و تصاویر با کیفیت و فاقد هرگونه آرتیفکت حرکتی بیمار بود.

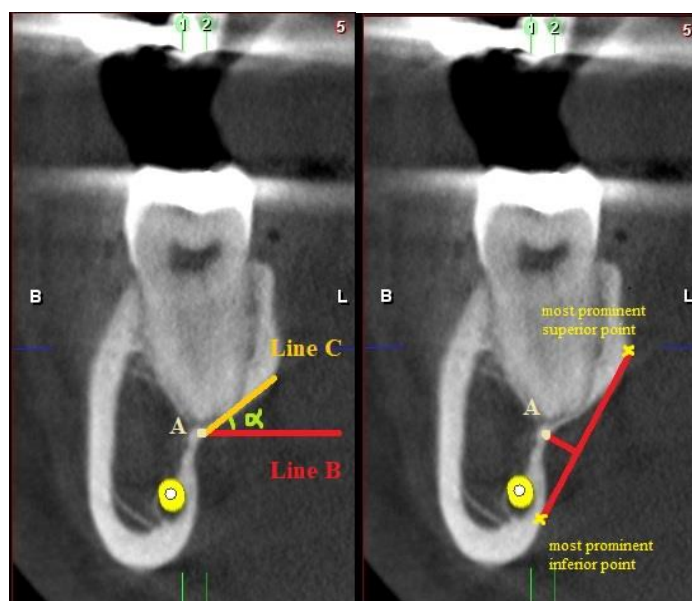
تصاویر توسط دستگاه CBCT با نام تجاری (Helsinki, Finland) Planmeca 3D Mid و دارای FOV ۱۷×۲۰ سانتی‌متر و سایز وکسل ۱۰۰ میکرومتر تهیه شده بود. شرایط اکسپوژر دستگاه به صورت ۹۰ kVp و شدت جریان ۸ mA و زمان اکسپوژر دستگاه برای تصاویر، ۱۵ ثانیه بود. تصاویر در ابتدا با فرمت DICOM ذخیره شده بودند. داده‌ها در نرم افزار Romexis باز شدند. پس از تنظیم زاویه مناسب قرارگیری سر، به صورتی که سطح اکلوژال دندان‌های مولر موازی خط افق باشند، منحنی پانورامیک به کمک نمای اگزیمال بازسازی شد و مسیر کانال عصب آلتولار تحتانی نیز مشخص شد. تصاویر کراس سکشنال از محل مولر اول و دوم مندیبل ایجاد شدند. ضخامت هر برش و فاصله آن‌ها به صورت پیش فرض ۲ میلی‌متر در نظر گرفته شد. بر اساس مطالعه Chan و همکاران (۱۲)، شکل ریح بیماران در سه گروه C-shape، P-shape و U-shape دسته بندی شدند، به این صورت که در ریح C-shape، بیس ریح از کرست آن عریض‌تر بود، در ریح U-shape، کرست ریح از بیس آن عریض‌تر بود و در ریح P-shape، کرست و بیس پهنای

باکولینگوالی مشابهی داشتند. در گروه U-shape که افراد دارای فوسای عمیق غده ساب مندیبولار در نظر گرفته شدند (۱۲)، محل عمیق‌ترین نقطه فوسای غده ساب مندیبولار (Submandibular Gland Fossa, SGF) با مقایسه اندازه‌ها در نماهای کراس سکشنال، مشخص شد و به عنوان نقطه "A" نامگذاری شد. محل عمیق‌ترین نقطه با اعداد I تا VII به این صورت I: عمیق‌ترین نقطه در نیمه مزایالی دندان مولر اول، II: عمیق‌ترین نقطه در قسمت میانی دندان مولر اول، III: عمیق‌ترین نقطه در نیمه دیستالی دندان مولر اول، IV: عمیق‌ترین نقطه بین دندان مولر اول و دوم، V: عمیق‌ترین نقطه در نیمه مزایالی دندان مولر دوم، VI: عمیق‌ترین نقطه در قسمت میانی دندان مولر دوم، VII: عمیق‌ترین نقطه در نیمه دیستالی دندان مولر دوم مشخص شد (شکل ۱).

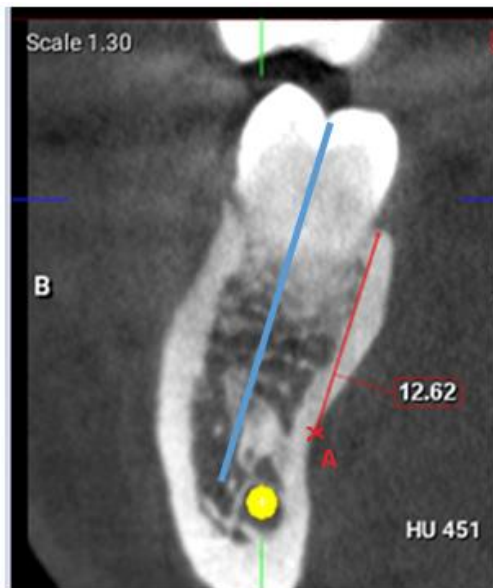


شکل ۱. گروه بندی محل عمیق‌ترین نقطه فوسای غده ساب مندیبولار

عمق و زاویه تقعر نیز در این ناحیه محاسبه گردید؛ به این صورت که از خطی که برجسته‌ترین قسمت فوقانی و تحتانی تقعر را به هم وصل می‌کرد، خطی عمود به عمیق‌ترین نقطه فوسا رسم شد که نمایانگر عمق فوسا بود. سپس از عمیق‌ترین نقطه فوسا (نقطه A) خطی در راستای افق رسم شد به نام خط "B". زاویه بین این خط و خطی که برجسته‌ترین قسمت فوقانی تقعر را به نقطه "A" وصل می‌کند (خط C)، زاویه تقعر (α) را مشخص می‌کرد (شکل ۲). ارتفاع استخوان موجود از عمیق‌ترین قسمت تقعر تا کمرست آلئول در خطی موازی با محور طولی دندان نیز، محاسبه گردید (شکل ۳). این اعمال در سمت مقابل نیز برای مقایسه انجام شد. تمام اندازه‌گیری‌ها توسط یک معاینه کننده واجد شرایط انجام گردید.



شکل ۲. اندازه‌گیری عمق و درجه تقعر



شکل ۳. ارتفاع عمیق ترین نقطه (A) تا کرسست آلوئول. (خط آبی نمایانگر محور طولی دندان می باشد)

داده‌ها پس از جمع آوری وارد نرم افزار SPSS نسخه ۲۷ شده و با استفاده از آزمون کولموگروف اسمیرنوف نرمالیتی داده‌های کمی بررسی شد و با توجه به توزیع نرمال داده‌ها از آزمون‌های Chi-square test و Fisher exact test و Independent sample T-test جهت تجزیه و تحلیل داده‌ها استفاده شد و $p < 0.05$ معنی دار در نظر گرفته شد.

یافته‌ها

از ۱۴۰ تصویر CBCT مورد بررسی، تعداد ۱۰۱ عدد متعلق به زنان (۷۲/۱٪) و تعداد ۳۹ عدد متعلق به مردان (۲۷/۹٪) بود. میانگین سنی شرکت کنندگان ۳۱/۰۳±۹/۴۶ سال با دامنه ۱۸-۶۴ بود. بر اساس طبقه بندی شکل ریج در CBCT بیماران، ۷۹ نفر (۵۶/۴٪) از افراد در نوع U، ۱۴ نفر (۱۰٪) در نوع C و ۴۷ نفر (۳۳/۶٪) در نوع P قرار داشتند. بر اساس طبقه بندی شکل ریج در CBCT بیماران بر حسب جنسیت، بیشترین شکل ریج در زنان و مردان U-shape و کمترین شکل ریج C-shape بود اما بین فراوانی مورفولوژی و شکل ریج خلف فک پایین زنان و مردان اختلاف معنی داری مشاهده نشد. از طرفی مورفولوژی و شکل ریج خلف فک پایین در هر دو سمت یکسان بود به همین علت در تجزیه و تحلیل آماری مورد بررسی قرار نگرفت. در ادامه تجزیه و تحلیل‌های آماری بر روی ۷۹ نمونه‌ای که مورفولوژی U-shape داشتند انجام شد.

بیشترین فراوانی شکل ریج U بر حسب جنسیت مربوط به زنان (۶۸/۴٪) بود. بیشترین فراوانی محل عمیق ترین نقطه فوسای غده ساب مندیولار نسبت به دندان‌ها در مردان در محل VII (۲۶٪) و کمترین فراوانی در محل I (۲٪) بود. بیشترین فراوانی محل عمیق ترین نقطه فوسای غده ساب مندیولار نسبت به دندان‌ها در زنان در محل IV (۲۸/۷٪) و کمترین فراوانی در محل I (۲/۸٪) بود. از لحاظ آماری اختلاف معنی داری در فراوانی محل عمیق ترین نقطه فوسای غده ساب مندیولار نسبت به دندان‌های زنان و مردان وجود داشت ($p=0.031$).

بیشترین فراوانی محل عمیق ترین نقطه فوسای غده ساب مندیولار نسبت به دندان‌ها در سمت راست در محل IV (۳۱/۶٪) و کمترین فراوانی در محل I (۲/۵٪) بود. بیشترین فراوانی محل عمیق ترین نقطه فوسای غده ساب مندیولار نسبت به دندان‌ها در سمت چپ در محل V (۲۹/۱٪) و کمترین فراوانی در محل I (۲/۵٪) بود. اختلاف معنی داری در فراوانی محل عمیق ترین نقطه فوسای غده ساب مندیولار نسبت به دندان‌ها بر حسب سمت وجود نداشت. اگر چه میانگین درجه تقعر فوسای غده ساب مندیولار در زنان بیشتر از مردان بود اما این اختلاف از لحاظ آماری معنی دار نبود (جدول ۱). میانگین عمق تقعر فوسای غده ساب مندیولار و میانگین فاصله عمیق ترین نقطه فوسای غده ساب مندیولار تا کرسست در راستای محور طولی دندان در مردان به طور معنی داری بیشتر از زنان بود (جدول ۱).

جدول ۱. مقایسه میانگین درجه تقعر، عمق و فاصله عمیق ترین نقطه فوسا تا کرست برحسب جنسیت

p-value	جنسیت			متغیر
	کل Mean±SD	زن (n=۱۰۸) Mean±SD	مرد (n=۵۰) Mean±SD	
۰/۵۶۱	۴۲/۷۶±۷/۹۱	۴۳/۰۱±۷/۶۸	۴۲/۲۲±۸/۴۳	درجه
<۰/۰۰۱	۲/۵۶±۰/۶۵	۲/۴۲±۰/۵۷	۲/۸۶±۰/۷۰	عمق
<۰/۰۰۱	۱۳/۹۶±۲/۳۶	۱۳/۳۳±۲/۱۰	۱۵/۳۴±۲/۳۱	فاصله

بین میانگین درجه تقعر فوسای غده ساب مندیبولار سمت راست و چپ اختلاف آماری معنی داری وجود نداشت. میانگین عمق تقعر فوسای غده ساب مندیبولار سمت راست (۲/۸۶±۰/۷۰) به طور معنی داری بیشتر از سمت چپ (۲/۴۵±۰/۶۸) بود. اگرچه میانگین فاصله عمیق ترین نقطه فوسای غده ساب مندیبولار تا کرست در راستای محور طولی دندان سمت راست کمتر از سمت چپ بود اما این اختلاف از لحاظ آماری معنی دار نبود (جدول ۲).

جدول ۲. میانگین درجه تقعر، عمق و فاصله عمیق ترین نقطه فوسا تا کرست برحسب سمت

p-value	سمت			متغیر
	کل Mean±SD	چپ (n=۷۹) Mean±SD	راست (n=۷۹) Mean±SD	
۰/۷۲۳	۴۲/۷۶±۷/۹۱	۴۲/۵۳±۸/۱۸	۴۲/۹۹±۷/۶۷	درجه
۰/۰۳۷	۲/۵۶±۰/۶۵	۲/۴۵±۰/۶۸	۲/۶۷±۰/۶۰	عمق
۰/۲۰۳	۱۳/۹۶±۲/۳۶	۱۴/۲۰±۲/۴۵	۱۳/۷۳±۲/۶۳	فاصله

بحث و نتیجه گیری

بر اساس یافته‌های این مطالعه، فاکتورهای مختلف آناتومیک فوسای غده ساب مندیبولار از جمله محل و عمق و زاویه تقعر و فاصله از کرست آلوئول، در جمعیت، جنس و سمت فکین تفاوت‌هایی دارد که در درمان ایمپلنت، نیاز به بررسی دقیق دارد. طبق مطالعات انجام شده، فوسای ساب مندیبولار عمیق در ناحیه مولرهای فک پایین، در همه افراد جمعیت مشاهده نمی‌شود. بر اساس طبقه بندی مربوط به مورفولوژی ریح خلف فک پایین در مطالعه Chan و همکاران (۱۲)، مختص به گروهی است که ریح U-shape دارند. در مطالعه حاضر که بر روی یک جمعیت ایرانی انجام شده است، این نوع مورفولوژی بیشترین فراوانی را دارا بود (۵۶/۴٪). جمعیت بررسی شده در مطالعه Parnia و همکاران (۱۳)، Ebrahimnejad و همکاران (۱۴) و Panjnoush و همکاران (۸) نیز ایرانی بودند اما فراوانی ریح U-shape در آن‌ها به ترتیب ۸۰٪، ۵۱٪ و ۵۶٪ محاسبه شد. این عدد در مطالعات Panjnoush و همکاران (۸) تقریباً مشابه با مطالعه حاضر و در مطالعات Ebrahimnejad و همکاران (۱۴) و Parnia و همکاران (۱۳) با مطالعه حاضر تفاوت داشت. در بررسی مطالعات کشورهای دیگر، فراوانی این شکل ریح در ناحیه مولرها، در مطالعه Tan و همکاران (۷) که بر روی یک جمعیت مالزیایی انجام شده است، ۳۲/۸٪، Yoon و همکاران (۱۵) و Chen و همکاران (۱۶) در ایالات متحده آمریکا به ترتیب ۶۰٪ و ۶۶٪، Topbas و همکاران (۱۷) در جمعیت هلندی و ترکی ۷۷-۷۵٪، در مطالعه Kamburoglu و همکاران (۱۰) در ترکیه ۷۷-۷۲٪، Watanabe و همکاران (۱۸) در ژاپن ۳۹-۳۶٪ و در مطالعه Braut و همکاران (۱۹) در سوئیس ۳۸/۹۳٪ بود.

مورفولوژی C-shape که در مطالعه حاضر کمترین فراوانی را داشت (۱۰٪)، در مطالعه Tan و همکاران (۷) بیشترین فراوانی را دارا بود و در ۵۱/۷٪ جمعیت مشاهده شد؛ در مطالعه Ebrahimnejad و همکاران (۱۴) ۴۹٪، در مطالعه Yoon و همکاران (۱۵) ۳٪ و در مطالعه Chan و همکاران (۱۲) ۱۳/۶٪ بود. به صورت کلی این تفاوت‌ها بیانگر تنوع آناتومیک در جمعیت‌ها و نژادهای متفاوت بوده و ضرورت مطالعه بر روی جمعیت‌های مختلف را نشان می‌دهد.

دانستن مقدار عمق فوسای غده ساب مندیبولار قبل از جایگذاری ایمپلنت در ناحیه خلفی فک پایین، خصوصاً وقتی که عمیق است، الزامی است و اگر تشخیص داده نشود، می‌تواند منجر به سوراخ شدن پلیت لینگوال شود (۶). این عمق در مطالعه حاضر در مردان ۲/۸۶±۰/۷۰ و در زنان ۲/۴۲±۰/۵۷ میلی‌متر محاسبه شد که نسبت به مطالعه Vhatkar و همکاران (۶) و Koushal و همکاران (۱) که این اعداد را در مردان و زنان به ترتیب ۱/۸۶ و ۱/۷۴ میلی‌متر و ۱/۷۳±۰/۴۱۵ و ۱/۵۷±۰/۳۲۱ میلی‌متر محاسبه کرده بودند بیشتر بوده و از Nawwar (۱۱) که این اعداد را به ترتیب در مردان و زنان ۴/۸۵ و ۴/۰۹

میلی متر محاسبه کرده، کمتر می‌باشد. Panjnoush و همکاران (۸) میانگین این عمق را به صورت کلی در مرد و زن $2/32 \pm 1/36$ میلی متر، Kamburoğlu و همکاران (۱۰) و Chan و همکاران (۱۲) این عدد را $2/40$ میلی متر و Tan و همکاران (۷) $2/0 \pm 1/2$ میلی متر محاسبه کردند. این میانگین در مطالعه حاضر $2/56 \pm 0/65$ به دست آمد که نسبت به مطالعات ذکر شده (۷ و ۱۰) بیشتر بود و در مقایسه با مطالعه Ebrahimnejad و همکاران (۱۴) و Parnia و همکاران (۱۳) که این اعداد را به ترتیب $3/22 \pm 0/92$ و $2/6 \pm 0/85$ میلی متر محاسبه کردند، کمتر بود. علت این تفاوت‌ها را علاوه بر اختلافات نژادی و جمعیتی می‌توان به تفاوت در وسعت ناحیه مورد مطالعه، وضعیت دندان‌دار یا بی‌دندانی فکین و نوع مدالیته مورد استفاده برای تصویربرداری (CBCT، CT) نسبت داد. در مطالعه حاضر رابطه بین جنسیت و عمق تقعر از نظر آماری معنی‌دار بود. این ارتباط معنی‌دار در مطالعات Koushal و همکاران (۱)، Nawwar (۱۱) و Khodabakhshian و همکاران (۲۰) نیز مشاهده شد، اما در مطالعات Ebrahimnejad و همکاران (۱۴)، Yoon و همکاران (۱۵)، Kamburoğlu و همکاران (۱۰)، Vhatkar و همکاران (۶) و Parnia و همکاران (۱۳) رابطه بین جنسیت و عمق تقعر معنی‌دار نبود.

در مطالعه حاضر بر خلاف مطالعه Koushal و همکاران (۱)، رابطه بین سمت و عمق تقعر نیز از لحاظ آماری معنی‌دار بود و فراوانی فوسای غده ساب مندیولار عمیق در سمت راست بیشتر از چپ بود که این موضوع با نتایج Khodabakhshian و همکاران (۲۰) همخوانی داشت، اما در مطالعه Nawwar (۱۱)، عمق فوسا در سمت چپ بیشتر از راست بود.

میانگین زاویه تقعر فوسای غده ساب مندیولار در این مطالعه $42/76 \pm 7/91$ درجه بود که این عدد کمتر از اعداد به دست آمده در مطالعات Ebrahimnejad و همکاران (۱۴)، Tan و همکاران (۷) و Chan و همکاران (۱۲) بود که به ترتیب اعداد $50/42 \pm 4/75$ ، $50/6$ و $57/7$ درجه را محاسبه کرده بودند. در مطالعه Panjnoush و همکاران (۸) این عدد $15/45 \pm 16/19$ درجه به دست آمد که نسبت به مطالعه حاضر و دیگر مطالعات بررسی شده (۷ و ۱۴) به طور قابل توجهی کمتر بود. علت این تفاوت‌ها علاوه بر تنوعات آناتومیک نژادی، می‌تواند ناشی از اختلاف در اندازه محدوده مورد مطالعه ریح و روش‌های مختلف اندازه‌گیری باشد.

یکی دیگر از عوامل تاثیرگذار در انتخاب سایز ایمپلنت و جایگذاری آن، ارتفاع استخوان آلوئول می‌باشد (۱۴ و ۶)، که در این مطالعه به صورت فاصله عمیق‌ترین نقطه فوسای غده ساب مندیولار تا کرسٹ آلوئول اندازه‌گیری شده است. این ارتفاع در مردان $15/34 \pm 2/31$ میلی متر) بیشتر از زنان ($13/33 \pm 2/10$ میلی متر) محاسبه شد و این اختلاف از لحاظ آماری نیز معنی‌دار بود. میانگین کلی این عدد در مطالعه حاضر $13/96 \pm 2/36$ میلی متر به دست آمد که کمتر از اعداد محاسبه شده در مطالعات Vhatkar و همکاران (۶) و Tan و همکاران (۷) می‌باشد که این عدد را به ترتیب $14/1450$ و $15/3 \pm 3/2$ میلی متر عنوان کرده‌اند. روش اندازه‌گیری مطالعه حاضر با مطالعه Vhatkar و همکاران (۶) شباهت بیشتری داشته و اعداد به دست آمده نیز اختلاف کمتری دارند، اما به صورت کلی می‌توان اختلافات و تنوعات آناتومیک نژادی جمعیت‌های مختلف را اصلی‌ترین دلیل تفاوت در اندازه‌گیری‌ها برشمرد.

به طور خاص، استفاده از تصاویر کراس سکشنال در جهت باکولینگوال اجازه می‌دهد تا طراحی دقیق‌تری برای قراردادن ایمپلنت قبل از جراحی انجام گیرد و انجمن رادیولوژی دهان، فک و صورت آمریکا نیز استفاده از آن را در این زمینه ضروری می‌داند؛ برای تحقق این امر، جدیدترین روش تصویربرداری معرفی شده، توموگرافی کامپیوتری با پرتو مخروطی (CBCT) است که به طور کلی دوز تابشی و هزینه کمتری را در مقایسه با CT برای بیمار دارد و اطلاعات سه بعدی واضحی ارائه می‌دهد (۱۳ و ۱۰). این امر با ایجاد یک وضعیت قابل پیش‌بینی‌تر از وضعیت قرارگیری ایمپلنت بعد از جراحی، به بهبود کیفیت درمان کمک بزرگی می‌کند (۶). تمام مطالعات بررسی شده در این تحقیق به جز مطالعه Parnia و همکاران (۱۳) (که از CT استفاده کرده بودند)، نیز از این مدالیته استفاده کرده بودند.

در مطالعه حاضر، محل عمیق‌ترین نقطه فوسای غده ساب مندیولار نیز بررسی شد. بر اساس جستجوهای انجام شده، بررسی محل عمیق‌ترین نقطه فوسا، تاکنون با این میزان از دقت انجام نشده است. در تحقیق حاضر، تمامی کیس‌ها دارای دندان در نواحی مولری دو سمت بوده و مطالعه حاضر برخلاف مطالعات دیگر (۷ و ۱۵ و ۱۴ و ۱۲ و ۱۰) به صورت دقیق بر روی آناتومی نرمال جمعیت انجام شده است و نه جمعیتی که با از دست دادن دندان‌ها و گذشت زمان دچار تحلیل استخوان و تغییرات مورفولوژیک شده باشند. محل عمیق‌ترین نقطه فوسا با بررسی مقاطع کراس سکشنال CBCT در سمت راست و چپ و در زنان و مردان مشخص شد. این نقطه در مردان خلفی‌تر بوده و بیشتر در محاذات نیمه دیستالی دندان مولر دوم مندیبل و در زنان در محاذات حد فاصل دندان مولر اول و دوم مندیبل، قرار داشت، که این اختلاف از لحاظ آماری نیز معنی‌دار بود. در مطالعه Tan و همکاران (۷) و Nawwar (۱۱) فراوانی فوسای غده ساب مندیولار عمیق، به صورت کلی بیشتر در محاذات دندان مولر دوم عنوان شده است. در این مطالعه، محل عمیق‌ترین نقطه در سمت راست و چپ متفاوت بود اما این تفاوت از نظر آماری معنی‌دار نبود.

نتایج این مطالعه نشان داد که فراوانی فوسای غده ساب مندیولار عمیق نسبتاً بالاست و در $56/4\%$ جمعیت مشاهده می‌شود. محل عمیق‌ترین نقطه، عمق، زاویه تقعر و فاصله آن تا کرسٹ آلوئول که در این تحقیق ارائه شد، اطلاعات مفیدی را در برنامه ریزی درمان ایمپلنت در ناحیه مولرهای اول و دوم فک پایین، در اختیار جراحان و دندانپزشکان قرار می‌دهد.

با توجه به فراوانی بالای فوسای غده ساب مندیبولار عمیق در جمعیت مورد مطالعه لزوم بررسی دقیق این ناحیه در تصویربرداری CBCT پیش از درمان ایمپلنت نواحی مولری مندیبول وجود دارد.

تقدیر و تشکر

بدینوسیله از معاونت تحقیقات و فناوری دانشگاه علوم پزشکی شهید صدوقی یزد به جهت حمایت از مطالعه، همچنین از اساتید و اعضای محترم بخش رادیولوژی دانشکده دندانپزشکی شهید صدوقی یزد برای همکاری در انجام این تحقیق قدردانی می‌گردد.

References

- 1.Koushal D, Tangotra A. Evaluation of the depth of submandibular gland fossa and its correlation with mandibular canal in vertical and horizontal locations using CBCT. *Int J Radiol Diagn Imaging*. 2022;5(4):04-11.
- 2.Camargo IB, Van Sickels JE. Surgical complications after implant placement. *Dent Clin North Am*. 2015;59(1):57-72.
- 3.Saad I, Salem S. Knowledge, awareness, and perception of dental students, interns, and freshly graduated dentists regarding dental implant complications in Saudi Arabia: a web-based anonymous survey. *BMC oral Health*. 2021;21(1):161.
- 4.Resnik R. *Misch's Contemporary Implant Dentistry*, 4th ed. Elsevier Health Sciences; 2020.
- 5.Nilsun B, Canan B, Evren H, Kaan O. Cone-Beam Computed Tomography Evaluation of the Submandibular Fossa in a Group of Dental Implant Patients. *Implant Dent*. 2019;28(4):329-39.
- 6.Vhatkar BS, Shetty NK, Waghmare MS, Pagare SS, Vahanwala SP, Santosh V. Submandibular gland fossa assessment with cone beam computed tomography. *Int J Sci Stud*. 2019;7(4):53-7.
- 7.Tan WY, Ng JZL, Ajit Bapat R, Vijaykumar Chaubal T, Kishor Kanneppedy S. Evaluation of anatomic variations of mandibular lingual concavities from cone beam computed tomography scans in a Malaysian population. *J Prosthet Dent*. 2021;125(5):766.e1-8.
- 8.Panjnoush M, Eil N, Kheirandish Y, Mofidi N, Shamshiri AR. Evaluation of the concavity depth and inclination in jaws using CBCT. *Caspian J Dent Res*. 2016;5:17-23. [In Persian]
- 9.Anbiaee N, Yazdani B. Comparison of the Position and View of the Inferior Alveolar Canal and Mental Foramen in Panoramic Radiography and CBCT Images. *J Babol Univ Med Sci*. 2022;24(1):413-22. [In Persian]
- 10.Kamburoğlu K, Acar B, Yüksel S, Paksoy CS. CBCT quantitative evaluation of mandibular lingual concavities in dental implant patients. *Surg Radiol Anat*. 2015;37(10):1209-15.
- 11.Nawwar A. Evaluation of lingual concavities in the posterior mandibular area using Cone beam computed tomography scans in an Egyptian population-A cross-sectional study. *Egypt Dent J*. 2022;68(4):3401-10.
- 12.Chan HL, Brooks SL, Fu JH, Yeh CY, Rudek I, Wang HL. Cross-sectional analysis of the mandibular lingual concavity using cone beam computed tomography. *Clin Oral Implants Res*. 2011;22(2):201-6.
- 13.Parnia F, Fard EM, Mahboub F, Hafezeqoran A, Gavvani FE. Tomographic volume evaluation of submandibular fossa in patients requiring dental implants. *Oral Surg Oral Med Oral Pathol Oral Radiol Endod*. 2010;109(1):e32-6.
- 14.Ebrahimnejad H, Haghani J, Safaee A, Jahankhah AS, Rad M. Evaluation of Mandibular Lingual Concavity in Premolar and Molar Region Using Cone-Beam Computed Tomography (CBCT). *J Kerman Univ Med Sci*. 2022;29(1):24-30.
- 15.Yoon TY, Patel M, Michaud RA, Manibo AM. Cone Beam Computerized Tomography Analysis of the Posterior and Anterior Mandibular Lingual Concavity for Dental Implant Patients. *J Oral Implantol*. 2017;43(1):12-8.
- 16.Chen LC, Lundgren T, Hallström H, ChereL F. Comparison of different methods of assessing alveolar ridge dimensions prior to dental implant placement. *J Periodontol*. 2008;79(3):401-5.
- 17.Topbas NK, Özemre MÖ, Uzun C, Orhan K, Gülşahı A, Van Der Stelt P, et al. Relationship of the Presence of Lingual Concavity and Mandibular Canal Location: A Retrospective Two-Center Study. *Mersin Üniversitesi Tıp Fakültesi Lokman Hekim Tıp Tarihi ve Folklorik Tıp Dergisi*. 2022;12(1):170-8.
- 18.Watanabe H, Mohammad Abdul M, Kurabayashi T, Aoki H. Mandible size and morphology determined with CT on a premise of dental implant operation. *Surg Radiol Anat*. 2010;32(4):343-9.

19. Braut V, Bornstein MM, Kuchler U, Buser D. Bone dimensions in the posterior mandible: a retrospective radiographic study using cone beam computed tomography. Part 2--analysis of edentulous sites. *Int J Periodontics Restorative Dent.* 2014;34(5):639-47.
20. Khodabakhshian A, Mollaei M, Alimohammadi M, Ghobadi F, Hosseinnataj A, Gholampour A. Assessing the variations of the depth and angle of the submandibular gland fossa and the mandibular canal using cone beam computed tomography (CBCT): Submandibular gland fossa assessment using CBCT. *Regen Reconstr Restor.* 2024;9:e4.